

202511

# 弯卷机和矫正机

莫 施 宁 著



机械工业出版社

# 弯 卷 机 和 矫 正 机

莫 施 宁 著

徐 鯉 庭 譯



机械工业出版社

1958

## 出版者的話

本書的頭兩章簡明地敘述了塑性弯曲的理論及弯卷与矯正的工艺过程，同时闡述了弯卷机和矯正机的分类。在以后各章中則分別討論了各主要类型的旋轉式弯卷机和矯正机的構造与計算方法。

本書供設計部門从事鍛压和軋鋼設備設計工作的工程技术人员及鍋爐車間、准备車間和軋鋼車間的机械师与工艺师閱讀，本書也可供以金屬压力加工为其專業范围的机械制造学院的大專学生参考。

苏联 Е. Н. Мощанин著“Гибочные и правильные машины”  
(Машгиз 1956年 第一版)

\* \* \*

NO. 1743

---

1958年10月第一版 1958年10月第一版第一次印刷  
850×1168 1/32 字数209千字 印張8 1/4 0,001—2,100册  
机械工业出版社(北京东交民巷27号)出版  
机械工业出版社印刷厂印刷 新华书店發行

---

北京市書刊出版業營業許可証出字第008号 定价(10) 1.50元

# 目 次

序言 .....	5
本書所用的符号 .....	7
第一章 塑性弯曲以及弯卷和矫正过程的理論 .....	9
§1 塑性弯曲概論 .....	9
§2 三度空間中的純塑性弯曲 .....	13
§3 線性的純塑性弯曲 .....	27
§4 彈塑性弯曲 .....	38
§5 多次的塑性弯曲 .....	42
§6 借横向弯曲法完成的弯卷 .....	45
§7 具有拉伸的弯卷 .....	46
§8 借横向弯曲法完成的矯正 .....	56
§9 借拉伸法完成的矯正 .....	57
第二章 弯卷机和矯正机的分类 .....	59
§10 弯卷和矯正的工艺过程 .....	59
§11 机器的分类 .....	60
第三章 軸輶式板材弯卷机和板材弯卷-矯正机 .....	63
§12 机器的动作原理,用途和型式 .....	63
§13 对称的三軸輶机 .....	65
§14 不对称的三軸輶机 .....	85
§15 四軸輶机 .....	94
§16 联合机 .....	110
§17 个别机构的构造 .....	114
第四章 輶式型鋼弯卷机 .....	126
§18 机器的动作原理,用途和型式 .....	126
§19 垂直式机器 .....	126
§20 水平式机器 .....	136
§21 个别部件的构造 .....	142

第五章 多軸輶式板材矯正机 .....	145
§22 机器的动作原理、用途和型式.....	145
§23 輶列平行的机器 .....	149
§24 輶列不平行的机器 .....	175
§25 軸輶位置可局部調節的机器 .....	189
§26 个别部件的构造 .....	195
第六章 多輶式型鋼矯正机 .....	214
§27 机器的动作原理、用途和型式.....	214
§28 开式矯正机 .....	215
§29 闭式矯正机 .....	220
§30 个别机构的构造 .....	228
第七章 轉台式型鋼弯卷机 .....	231
§31 机器的动作原理、用途和型式.....	231
§32 轉台式弯卷机 .....	232
§33 具有旋轉和往复运动的轉台之弯卷机 .....	237
§34 轉台式弯卷-拉伸机.....	240
第八章 摆梁式板材弯卷机 .....	242
§35 机器的动作原理、用途和型式.....	242
§36 驅动位于側面的机器 .....	244
§37 驅动位于后面的机器 .....	249
§38 多馬达驅动的机器 .....	253
§39 主要零件的結構和材料 .....	258
第九章 双輶式板材弯卷机 .....	266
§40 双輶式板材弯卷机 .....	266

## 序　　言

弯卷机和矯正机广泛地应用在金屬加工工業中。

在弯卷机上可以弯卷圓筒，鍋爐管子，各式各样設備的法兰，建筑物的零件，船舶的壁板，火車、电車、汽車和无軌电車的无数零件及農業机器的零件等。

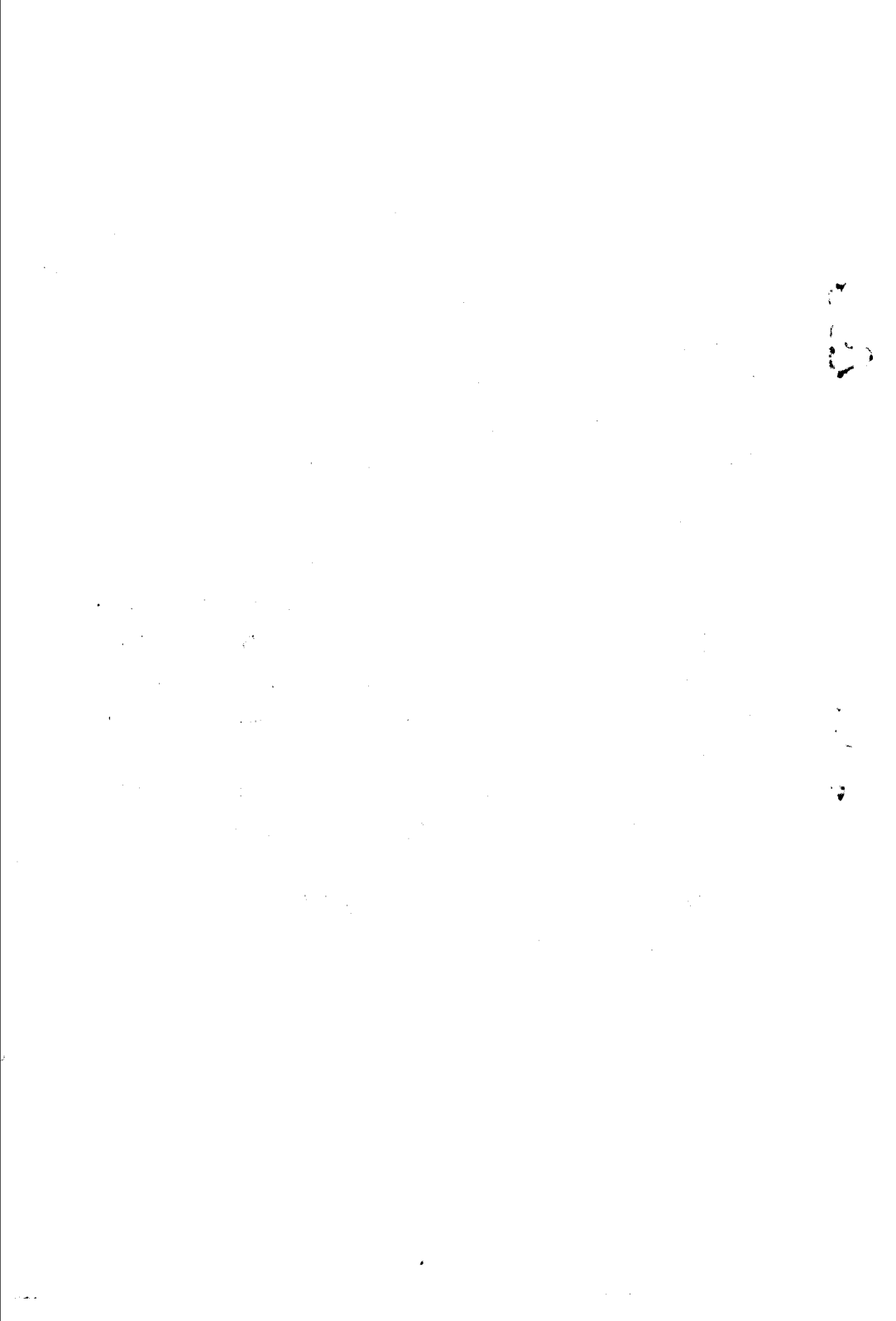
矯正机主要应用于軋件生产中，其时矯正过程是一个主要的精整工序；同时矯正机在机器制造工業中也被采用以矯正鍛件和机械加工的零件。

在技术文献中，对弯卷机和矯正机，它們的构造和計算都很少闡述，关于这类机器方面的專門書籍更是缺乏。

本書的目的是以系統的方式对旋轉的弯卷机和矯正机在构造和計算方面給予原則性的材料。本書将討論最常見的弯卷机和矯正机，并对机器各主要的力学和几何参数的計算方法有所引証。在本書的开端，还闡述了塑性弯曲的理論基础，而这是絕大多数弯卷和矯正工艺过程的主要变形方式。

本書并未包括鋼管弯卷机和鋼管矯正机，因为这些都是应用很窄的專業机器；同样本書也未包括多对輶式定徑机（定徑軋机），因为这是屬於特殊軋鋼设备的。

当編写本書时，曾应用作者在塑性弯曲方面及計算弯卷机和矯正机主要参数方面所作的理論的和实验的研究。



## 本書所用的符号

### 被弯曲的梁的初始尺寸（弯曲前）

- $h$  —— 高度（公厘）；  
 $b$  —— 宽度（公厘）；  
 $l$  —— 长度（公厘）；  
 $F$  —— 横截面面积（公厘<sup>2</sup>）；  
 $J$  —— 横截面的惯性矩（公厘<sup>4</sup>）；  
 $W$  —— 横截面的断面模数（公厘<sup>3</sup>）；  
 $S$  —— 双倍的半个横截面的静力矩（公厘<sup>3</sup>）；  
 $k_1 = \frac{S}{W}$  —— 形状系数；  
 $R_I$  —— 通过横截面重心层的初始半径（公厘）。

### 弹复前弯曲梁的尺寸

- $h_0$  —— 高度（公厘）；  
 $l_0$  —— 长度（公厘）；  
 $R$  —— 通过横截面重心层的半径（公厘）；  
 $R_B$  —— 内半径（公厘）；  
 $R_H$  —— 外半径（公厘）；  
 $\rho$  —— 应力中性层，亦即切向应力突然改变符号而径向应力达到最大值那一层的半径（公厘）；  
 $\rho_0$  —— 变形中性层的半径（公厘）；  
 $y$  —— 沿高度方向离开中性层的可变尺寸（公厘）；  
 $y_s$  —— 从中性层到弹性区和塑性区交界层之间的距离（公厘）；  
 $R_y$  —— 可变半径（公厘）；  
 $r = \frac{R}{h}$  —— 通过横截面重心层的相对半径；  
 $r_B = \frac{R_B}{h}$  —— 相对内半径；  
 $r_H = \frac{R_H}{h}$  —— 相对外半径；  
 $\rho'$  —— 应力中性层的相对半径；  
 $\rho$  —— 变形中性层的相对半径；

$\alpha = \rho' - r_s$ ——从最内层到应力中性层之间的相对距离;

$a_2 = \rho'_0 - r_s$ ——从最内层到变形中性层之间的相对距离;

$\eta = \frac{h_0}{h}$ ——弯曲梁的高度减缩系数;

$\alpha$ ——弯曲角(弧度)。

### 彈复后弯曲梁的尺寸

$R_0$ ——通过横截面重心层的半径(公厘);

$R_{0g}$ ——内半径(公厘);

$R_{0e}$ ——外半径(公厘);

$r_0 = \frac{R_0}{h}$ ——通过横截面重心层的相对半径;

$\frac{1}{r_{np}}$ ——彈复的相对曲率;

$\alpha_0$ ——弯曲角(弧度);

$\Delta\alpha$ ——彈复角(弧度)。

### 表示負荷强度的数值

$M$ ——弯曲力矩(公斤·公厘);

$m = \frac{M}{W\sigma_s}$ ——相对弯曲力矩;

$M_0$ ——无强化純塑性弯曲的弯曲力矩或有强化純塑性弯曲的初始弯曲力矩(公斤·公厘)。

### 材料机械性能和应力-变形状态的符号

$\sigma_s$ ——屈伏極限(公斤/公厘<sup>2</sup>);

$\sigma_b$ ——强度極限(公斤/公厘<sup>2</sup>);

$\sigma_u$ ——拉伸时呈现颈縮那一刻的真实应力(公斤/公厘<sup>2</sup>);

$E$ ——弹性系数(公斤/公厘<sup>2</sup>);

$\Pi_1$ ——真实应力曲綫圖中第二段的强化系数(公斤/公厘<sup>2</sup>)(見圖3);

$\Pi_2$ ——真实应力曲綫圖中第三段的强化系数(公斤/公厘<sup>2</sup>)(見圖3);

$\sigma$ ——綫性应力-变形状态时的真实应力(公斤/公厘<sup>2</sup>);

$\sigma_{1u}$ 和 $\sigma_{1s}$ ——弯曲梁外区和內区的切向主应力(公斤/公厘<sup>2</sup>);

$\sigma_{2u}$ 和 $\sigma_{2s}$ ——弯曲梁外区和內区的横向主应力(公斤/公厘<sup>2</sup>);

$\sigma_{3u}$ 和 $\sigma_{3s}$ ——弯曲梁外区和內区的徑向主应力(公斤/公厘<sup>2</sup>);

$\epsilon$ ——相对真实变形;

$\epsilon_s$ ——最大弹性相对变形;

$\delta$ ——延伸率;

$\delta_s$ ——均匀伸率;

$k_0$ ——相对强化系数,其值等于强化系数 $\Pi_1$ 和屈伏極限 $\sigma_s$ 的比值。

# 第一章 塑性弯曲以及弯卷和 矯正过程的理論●

## § 1 塑性弯曲概論

塑性弯曲开始于弯曲梁在彈性弯曲过程中所获得的某种初始曲率，因而它的普遍形式是一种具有曲綫軸綫的梁的弯曲，这时其橫截面上沿高度方向的边区（一个或二个）中，在弯曲力矩的作用下業已产生材料的塑性变形。最大的变形产生于切綫方向（順沿梁軸），产生在外区（相对曲率中心而言）的是拉伸变形；而产生在內区的則是压缩变形。随弯曲曲率的增加，两个塑性变形区均向梁的中部扩張，在極端情况下匯集在一处。

根据塑性变形时容积不变的条件，伴随切綫方向的塑性变形在与其垂直的其他一个或两个方向——徑向和横向（橫切）——中，必生有形式与之相反的塑性变形。

后一种变形使梁的橫截面在弯曲过程中發生扭曲（圖 1）。因为沿梁高的不同号变形企圖使梁的橫截面获得环段状（圖 16，虛綫），但梁的曲率却阻碍这种变形，所以寬梁的横向变形很难。

彈性弯曲时生效的切綫方向正应力（切向应力）分布的直綫規律在弯曲轉变为塑性阶段时就大大地复杂起来，这一方面是由于出現了塑性区，另一方面則由于梁的曲率对其材料应力状态的影响。

弯曲梁的曲率引起各縱向層相互間的压迫，因而产生了徑向的应力，其值在中性層上达到最大。此外，由于寬梁在橫的方向

● 1954年由苏联国立机器制造書籍出版社（Машгиз）出版之中央机器制造与工艺科学研究所（ЦНИИТМАШ）論文集第 62 卷中作者所写的「塑性弯曲的研究」一文对塑性弯曲的理論有更詳尽的叙述。

中难于进行变形，所以其中还产生横向应力。

这样，在塑性弯曲时發生的是三度空間的应力-变形状态。宽梁的应力状态是三度空間的，而变形状态是平面的（圖 2 a）。窄梁則相反，換言之，即应力状态是平面的，而变形状态是空間的（圖 2 b）。同时，梁的应力-变形状态沿其高度是不均匀的。

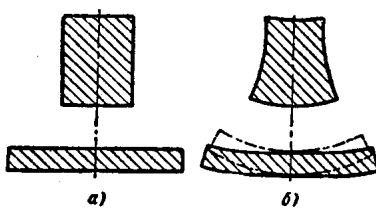


圖 1 塑性弯曲时梁的横截面的扭曲：  
a—弯曲前；b—弯曲后。

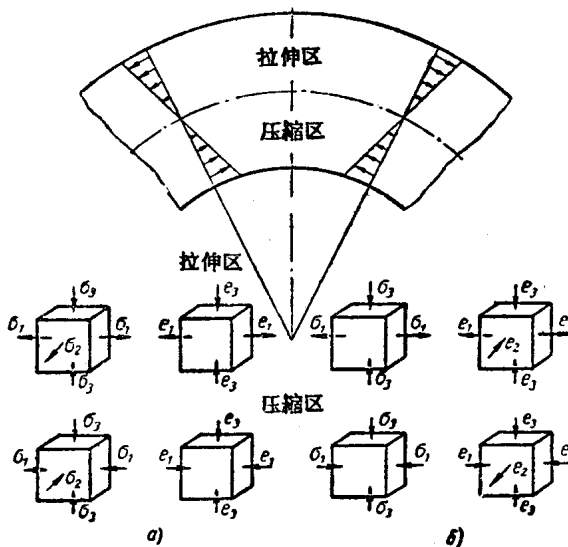


圖 2 塑性弯曲时的应力-变形状态圖：  
a—宽梁；b—窄梁。

塑性弯曲时空間的应力-变形状态对弯曲梁的变形特性有很大的影响。与彈性弯曲不同，在塑性弯曲时，可以看到弯曲梁的長度有所增加而高度和横截面积減縮，以及如前所述，梁的横截面还發生扭曲。

上述均屬於純塑性弯曲，也就是只在沿梁的全長弯曲力矩都

固定不变地作用下所产生的弯曲；在横向塑性弯曲的場合下，除了弯曲力矩以外，还有由于横向力的作用所产生的剪切应力存在，所以它的应力-变形状态的特性将更加复杂。

由于塑性弯曲时沿梁的高度方向应力-变形状态的不均匀性很大，同时材料塑性变形时的强化特性也很复杂，所以在一般場合下，塑性弯曲的数学分析会遇到很大的困难。因此如对全部塑性弯曲的范围都采取同样的簡化，那么就会导致某些阶段塑性弯曲極不准确的結果。

在冷的和热的状态下所进行的塑性弯曲的实验和理論研究証明，对于个别弯曲阶段而言，相当重大的簡化也是完全可以允許的。对基本原则的主要簡化如下：采取和分析彈性弯曲时类似的假想綫性应力-变形状态圖，忽略横截面中部的彈性弯曲区和选取簡單的真实应力和变形之間的解析关系。在今后的叙述中〔相对弯曲半徑〕这一概念均被用来代表弯曲半徑和弯曲梁初始高度的比值。相对弯曲半徑代表弯曲梁各層的变形程度，因而是一个用来比較的数值。

現在我們來討論对不同阶段的塑性弯曲允許进行部分簡化的可能性。

a ) 表現为横截面收縮和扭曲以及弯曲梁伸長的三度空間的应力-变形状态仅在相对半徑很小，譬如說 小于 3~5 时 才能产生。因此，当分析相对半徑較大的弯曲时，可以假想地采用綫性应力-变形状态，換句話說在这种場合下分析弯曲时只須考慮切綫方向的应力和变形。

6 ) 中部的彈性变形区对弯曲力矩的数值和过程中其他参数的影响仅当相对弯曲半徑很大时才能显著地表現出来。随弯曲半徑的减小，这一变形区的影响可降至極小。因此，从某一半徑开始即可将其忽略不計而認為弯曲梁的全部截面均为塑性变形所占据。

b ) 当选取应力和变形之間的关系时，从在所有的塑性形变

方式下（在冷的和热的状态下都如此）仅有單一的真正应力曲綫这一假定出發。換言之，即假定弯曲梁外区和内区的材料强化仅和变形程度有关。因此，通过整理靜力拉伸試驗的結果所得到的真正应力曲綫圖就对塑性弯曲也可發生效用了。这个条件对碳結構鋼和低合金鋼均可采用。

对最常見的金屬，如碳鋼，特殊鋼以及鋁和銅的合金而言，真正应力曲綫都有很复杂的特性，因而到目前为止，还不能用一般化的解析关系式来足够精确地表达出这种曲綫。

从研究各种材料真正应力的實驗曲綫中可以得出結論，用与其最为接近而由三段直線所組成的曲折綫（圖 3）来作为簡化的关系曲綫最为方便：1——彈性变形段，2——代表強化較劇的小量塑性变形段和3——大量塑性变形段。

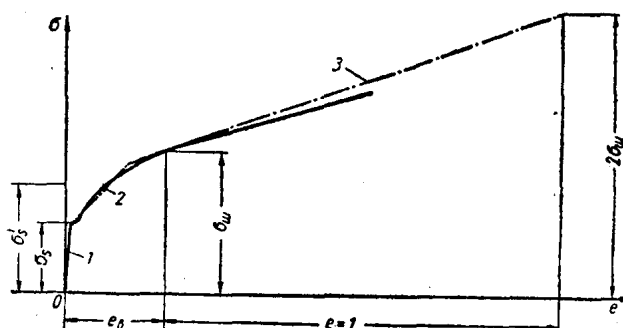


圖 3 拉伸时建議的簡化真正应力圖：

——实际曲綫；——簡化的关系曲綫。

这个假定最能反映真正应力变化的特性，并可簡化数学上的換算。

除了上列簡化之外，在作塑性弯曲的理論分析时一般均忽略其剪切应力，換言之，即認為其时是純塑性弯曲而截面平直的假說依然正确；弯曲前垂直于梁縱向軸綫的平截面在弯曲后依然保持为平面，并垂直于梁的弯曲軸綫。虽然弯曲的工艺过程照例是通过横向塑性弯曲来实现，但在大部分場合下，剪切应力都很微

小而并不对弯曲过程發生显著影响。

根据所取的假定，塑性弯曲可以分为三个阶段：三度空間的純塑性弯曲，綫性純塑性弯曲和彈塑性弯曲。

1. 三度空間的純塑性弯曲相当于小相对半徑（低于3~5）的弯曲，以大量变形及它所引起的非常显著的三度 空間的应力-变形状态为其特点，这种应力-变形状态表現在弯曲 梁的伸長和其橫截面的扭曲和減縮方面。

从数量方面来看，切綫方向的变形主要存在于真正应力圖中的第三段变形範圍中。分布在弯曲梁中性層附近各層的变形虽然尚相当于应力圖的第一段和第二段，但因为这些層的高度都極小，所以我們可以認為真正应力圖第三段的依存关系一直扩及到中性層为止。

2. 線性的塑性弯曲相当于中等相对半徑（由3~5 到 200 之間）的弯曲。因为此时应力-变形状态的三度空間 性表現 尚不显著，所以可以忽略不計而認為应力-变形状态是綫性的。

中部的彈性变形区在数量方面同样也較小而可認為弯曲梁的全部橫截面均在进行塑性变形。此时变形处在真正应力圖的第二段範圍內。

綫性純塑性弯曲的数学分析最簡單，可以求得对不同形状的橫截面均可适用而并不复杂的計算公式。

3. 彈塑性弯曲开始于在高度方面最边上各層的变形从 弹性 范疇轉变为塑性范疇的时候，它以等于 200 的相对半徑 为界限。这一阶段弯曲的特点是中部彈性变形区的数量很大。变形量相当于真正应力圖的第一段和第二段。

应力-变形状态更为接近于綫性。

現在來討論弯曲的每一个阶段，首先討論塑性弯曲中最一般的場合——三度空間的純塑性弯曲。

## § 2 三度空間中的純塑性弯曲

作用在梁的横截面中的应力 因为在绝大多数的工艺过程中仅对板材和带状的零件才要求小的弯曲半径，所以我们只讨论宽矩形梁的弯曲。

首先第一步是选取弯曲梁的塑性方程式和基元体积中的平衡方程式。

宽梁弯曲时应力状态的特点是在三个互相垂直的方向中均有主正应力存在：切线方向的  $\sigma_1$ ，横向的  $\sigma_2$  和径向的  $\sigma_3$ 。因为在梁的宽度方向上没有变形，所以应力  $\sigma_2$  应是数值居中的主正应力，其值等于其他两个主应力之和的一半：

$$\sigma_2 = \frac{\sigma_1 + \sigma_3}{2}。 \quad (1)$$

此时塑性方程式的通用形式可用下式表之：

$$\sigma_1 = 1.15\sigma_s + \sigma_3。 \quad (2)$$

对于那些变形时没有强化的材料而言， $\sigma = \sigma_s$ ；对于那些变形时发生强化的材料而言， $\sigma = \sigma'_s + IIe$ 。在这种情况下，所采取的是应力和变形之间简化的直线依存关系，变形程度很大时，这种关系能够相当近似地模拟真实曲线；式中  $\sigma'_s$ ——外推屈服极限。

弯曲时相对真正变形为

$$e = \ln \frac{R_p}{R_0}。$$

现在我们来研究以两个相互之间弯成夹角  $da$  的平面所截成的弯曲梁的无限小基元体（图4）。在曲率中心外面的外区中，切线方向的应力  $\sigma_1$  是拉应力，在内区中的应力则为压应力。径向应力  $\sigma_3$  沿梁的全部高度均为

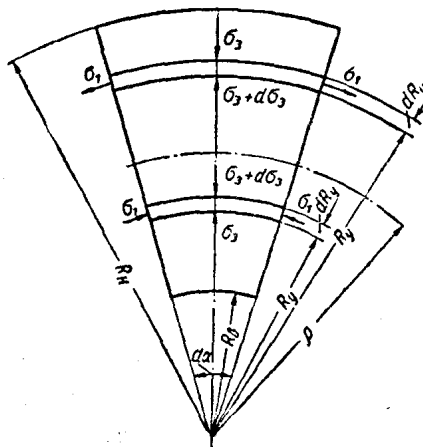


图4 弯曲梁无限小基元上力的作用圈。

● 在热变形的情况下可把拉伸时和均匀延伸率相对应的真正应力当作  $\sigma_s$ 。

压应力。

这样，每区的塑性方程式应为下列形式：

对于外区而言

$$\sigma_{1H} = 1.15 \left( \sigma'_s + H_2 \ln \frac{R_y}{\rho_0} \right) - \sigma_{3H}; \quad (3)$$

$$\sigma_{1H} = 1.15 \sigma_s - \sigma_{3H}; \quad (4)$$

对于内区而言

$$\sigma_{1B} = 1.15 \left( \sigma'_s - H_2 \ln \frac{R_y}{\rho_0} \right) + \sigma_{3B}; \quad (5)$$

$$\sigma_{1B} = 1.15 \sigma_s + \sigma_{3B}. \quad (6)$$

方程式 (4) 和 (6) 相当于没有强化的塑性弯曲。

同时解塑性方程式和单位宽度弯曲梁中无限小基元的平衡方程式，即可求得对切线方向应力的表达式为：

$$\sigma_{1H} = 1.15 \left[ \sigma'_s \left( 1 - \ln \frac{R_H}{R_y} \right) + \frac{H_2}{2} \left( 2 \ln \frac{R_y}{\rho_0} + \ln^2 \frac{R_y}{\rho_0} - \ln^2 \frac{R_H}{\rho_0} \right) \right]; \quad (7)$$

$$\sigma_{1B} = 1.15 \left[ \sigma'_s \left( 1 + \ln \frac{R_y}{R_B} \right) - \frac{H_2}{2} \left( 2 \ln \frac{R_y}{\rho_0} + \ln^2 \frac{R_y}{\rho_0} - \ln^2 \frac{R_B}{\rho_0} \right) \right]. \quad (8)$$

同法也能求得对径向和横向应力的表达式。

当塑性弯曲没有强化时，强化模数等于零，因此

$$\sigma_{1H} = 1.15 \sigma_s \left( 1 - \ln \frac{R_H}{R_y} \right); \quad (9)$$

$$\sigma_{1B} = 1.15 \sigma_s \left( 1 + \ln \frac{R_y}{R_B} \right). \quad (10)$$

当塑性弯曲没有强化时，切线方向的应力沿梁高的分布如图 5 所示。当塑性弯曲有强化时也是类似的应力分布图形。

**塑性弯曲时的变形机构** 由于径向应力的作用，拉伸区中的切向应力在靠近中性层时逐渐减小，但在压缩区中则增加，因而应力中性层相对于中间层来说是移向曲率中心这面，因为只有在这种情况下才能满足静力学的条件：所有作用在梁的横截面上的各力之和等于零。

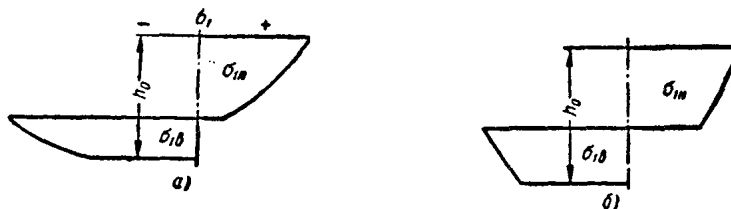


圖 5 當三度空間的純塑性弯曲沒有強化時切線方向應力的分布：  
a—相對半徑等於 0.25；b—相對半徑等於 1.0。

隨梁的弯曲曲率之增加，徑向應力不斷地加大，因此，應力中性層移向內區中業已發生壓縮變形的地方的位移也不斷地增加。應力中性層是弯曲梁的橫截面繞以發生偏轉的一層，因為只有在這種場合下，才能由於切向變形增長方向的改變而改變切向應力的符號。

當梁的橫截面圍繞位於壓縮區中的各中心而偏轉時，變形中性層同樣也將向曲率中心這一面移動，這一點在圖 6 中可以看到。

離開通過曲率中心的垂直軸一個單位長度距離的橫截面 1-1 在弯曲後佔有了位置 2-2（為了便於觀察，橫截面在高度方面已經取齊）。當弯曲曲率增加一無限小值時，該截面就圍繞位於應力中性層上的中心  $O$  而偏轉到位置 3-3；變形中性層就從點  $O_1$  移到點  $O_2$ 。

因此，位於中間層（點  $O_1$ ）下面的各層中產生了不單一的變形；弯曲開始時這些層受到壓縮，然後當應力中性層通過它們之後，它們就開始受到拉伸，並當變形中性層和它們重合時就恢復了原來的長度。

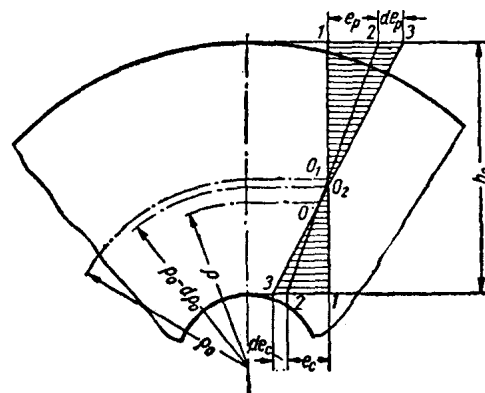


圖 6 三度空間塑性弯曲時的切向變形圖。